

III-42 繰返しによって累加する飽和粘土の間げき水圧挙動

大阪大学工学部 正員 伊藤富雄
同 同 松井保
同 同 小原秀夫

1. まえがき

一般に粘性土の動的間げき水圧の測定は困難であるとされてい。その主な理由は、粘性土の繰返し試験においては、試料の透水性に比べ載荷速度が速いために“計測の時間的遅れ”が生ずるのではないかという考え方がある。これに対し筆者らは、非排水繰返し時に発生する間げき水圧を専ら繰返しによて蓄積累加していく値として捉えれば、充分な精度で測定できるという立場から検討を進めていた。^{1), 2)} 今回これをさらに確かめるために載荷速度をえた実験を行なったので結果を報告する。

さらに、繰返しとともに累加する間げき水圧挙動が粘土のクリープにおける軸ひずみ挙動に類似している点に着目し、Singh and Mitchell³⁾の方法を参考にした種々のせん断応力振幅に対する発生間げき水圧の推定法を現象論的に考察したので合わせて報告するものである。なお使用した振動三軸試験機、試料（千里粘土）および実験方法は既報^{1), 2)}のと同様である。

2. 載荷速度の影響について

図-1は種々の載荷速度（周波数）による繰返し載荷中に累加する間げき水圧 Δu と繰返し回数の対数に対するプロットしたものである。初期圧密圧力、せん断応力振幅は同一であるが $\sigma_c = 2.0 \text{ kg/cm}^2$, $T_a = 0.34 \text{ kg/cm}^2$ である。図中の実線はそれぞれ既定の繰返し回数で繰返し停止し静置すると間げき水圧が一定値となることを示している。なお繰返し停止時の間げき水圧が2点プロットされることは最終繰返し回数における間げき水圧の平均値と停止直後の値とが異なるためである（繰返し中の間げき水圧はそれぞれの繰返し回数における間げき水圧振幅の最大値と最小値の平均値をプロットしている）。図より明らかに同じ繰返し回数に対する繰返し停止時の間げき水圧が遅いほど発生間げき水圧が大きくなることがわかる。また、繰返しによつて累加する間げき水圧は繰返し回数の対数に対して次第に一定勾配となるが、この直線部への移行は載荷速度が遅いほど少ない繰返し回数で現われ、直線部分は種々の載荷速度に対して互にほぼ平行となる。特に 0.005 Hz のプロットが繰返し開始時より直線的に増加していることは、この程度の載荷速度で繰返しを行なうと累加する間げき水圧と繰返し回数の対数との間に近似的に比例関係が存在することを意味し興味深い。さてこのような載荷速度による発生間げき水圧の違いはいわゆる“計測の時間的遅れ”に起因するものではないと考えられる。なぜならいま、繰返し停止後最終的に蓄積残留する間げき水圧の値は静的定常状態で測定された信頼度の高い値であるが、これらの値は載荷速度によつて異なり繰返し中の測定値の差とほぼ等しい差が生じている。さらに、繰返し中の1サイクルにおいて記録される間げき水圧振幅中には蓄積累加する間げき水圧増分よりも充分大きな値がある事実などを考慮合わせると、図-1の結果に対する“計測の時間的遅れ”による計測誤差は考えにくい。したがって、図-1の上述の間げき水圧特性は粘土の本質的な間げき水圧発生機構に依存するものであり、せん断応力振幅が等しければ同一の繰返し回数に対して載荷速度が遅いほど載荷時間が長くなり蓄積応力履歴の効果が大きくなるため発生間げき水圧が大きくなるものと考えられる。

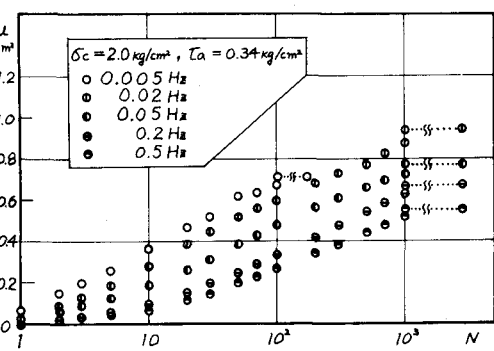


図-1

3. 開き水圧の推定法について

筆者らは既に、種々の大きさのせん断応力振幅を同じ載荷速度(0.5Hz)で繰返し載荷した場合の開き水圧と繰返し回数との関係が図-2のプロットのようになり、このような開き水圧の時間依存的な応答が粘土のクリープ²⁾における軸ひずみ挙動に類似していることを報告した。 $\tau_a = 2^{\circ}$ 今回、クリープ挙動の予測に対する Singh and Mitchell の方法に従い、繰返しによつて累加する開き水圧の予測式を現象論的に導いたので以下に示す。

まず、図-2の結果より開き水圧の増加率と時間との関係を両対数紙にプロットしたのが図-3である。図よりせん断応力振幅 τ_a に開らずに開き水圧の増加率の対数が時間の対数に対する一定の傾き m で減少することができる。このような関係は次式で表わされる。

$$\ln(\dot{\Delta}u) = \ln(\dot{\Delta}u)_{(t_1, \tau_a)} - m \ln\left(\frac{t}{t_1}\right) \quad (1)$$

ここで m は図-3における直線の傾きの絶対値、 t_1 は単位時間である。次に、同じく図-2の結果を $(\dot{\Delta}u)$ の対数と τ_a の関係でプロットしたのが図-4である。図-3と同様な平行直線群が認められ、これより次式を得る。

$$\ln(\dot{\Delta}u) = \ln(\dot{\Delta}u)_{(t, \tau_{ao})} + \alpha \tau_a \quad (2)$$

ここで $(\dot{\Delta}u)_{(t, \tau_{ao})}$ は $\tau_a = 0$ における $(\dot{\Delta}u)$ の仮想値、 α は図-4の直線の傾きである。(1)式と(2)式より次式が得られる。

$$(\dot{\Delta}u) = A e^{\alpha \tau_a \left(\frac{t}{t_1}\right)^m} \quad (3)$$

ここで $A = (\dot{\Delta}u)_{(t_1, \tau_{ao})}$ 従つて開き水圧と時間との関係式(2)(3)式を積分して

$$\Delta u = A e^{\alpha \tau_a (t_1)^m} \left(\frac{1}{1-m} \right) t^{1-m} + \text{constant} \quad (m \neq 1) \quad (4)$$

さて、(4)式に含まれる 3つのパラメータ m, α, A の値は少なくとも 2 種の τ_a に対する繰返し試験より求まる。このようにして求めた t_1, m, α, A の値を(4)式に入れ、図-2 の各せん断応力振幅に対する開き水圧の値を計算すると図-2 の実線で示されるような曲線が得られた。なお(4)式の積分定数については τ_a の大きさに開らずに $N=1$ すなはち $t = 2 \text{ sec}$ のとき $\Delta u = 0$ とおいて求めた。図-2において実験値と予測値を比較すると、このような方法によって比較的広範なせん断応力振幅に対する発生開き水圧を近似的に求め得ることがわかる。

参考文献

1) 伊藤・松井・小原 "正規圧密粘土に及ぼす振動荷重の影響について(続報)" 第29回土木学会全国大会(1974)

2) 伊藤・松井・小原 "飽和粘土に及ぼす動的応力履歴の影響" 第10回土質工学研究発表会(1975)

3) Singh and Mitchell "General Stress-Strain-Time Function for Soils" A.S.C.E., Vol.94, SM1 (1968)

